

**Introduction**  
A gamma-ray spectrometric and aeromagnetic airborne geophysical survey of the Mertsching Lake West area, Nunavut, was completed by Terraquest Ltd. The survey was flown from July 21st to September 7th, 2009 using a Piper PA-41 Triquest (C-GXKX). The nominal traverse and control line spacings were, respectively, 400 m and 2400 m, and the aircraft flew at a nominal terrain clearance of 120 m at an average airspeed of 275 km/h. Traverse lines were oriented N32°W with orthogonal control lines. The flight path was reconstructed following post-flight differential corrections to raw data recorded by a Global Positioning System. The survey was flown on a pre-determined flight surface to minimize differences in magnetic values at the intersections of control and traverse lines.

Un levé géophysique aéroporté de spectrométrie gamma et magnétique a été réalisé dans la partie ouest de la région du lac Mertsching au Nunavut par la société Terraquest. Le levé a été effectué du 21 juillet au 7 septembre 2009, à bord d'un avion Piper PA-41 Triquest immatriculé C-GXKX. L'espacement nominal des lignes de vol était de 400 m et celui des lignes de contrôle de 2400 m. L'altitude nominale de vol était de 120 m au-dessus du sol et la vitesse moyenne était de 275 km/h. Les lignes de vol étaient orientées à N32°W et les lignes de contrôle leur étaient perpendiculaires. La trajectoire de vol a été restituée par l'application après le vol de corrections différentielles aux données brutes enregistrées avec un récepteur GPS. Le levé a été effectué suivant une surface de vol prédéterminée afin de réduire la plus possible les différences de valeurs du champ magnétique aux intersections des lignes de contrôle et des lignes de levé.

**Gamma-ray Spectrometric Data / Données de spectrométrie gamma**  
The airborne gamma-ray measurements were made with a Radiation Solutions RS-800 gamma-ray spectrometer using fourteen 1024x1024x46 mm NaI (TI) crystals. The main detector array consisted of twelve crystals (total volume 50.4 litres). Two crystals (total volume 8.4 litres), shielded by the main array, were used to detect variations in background radiation caused by atmospheric radon. The system assembled 1024 channel spectra from the individual NaI (TI) detectors with no loss of Poisson statistics. Spectrum stabilization is accomplished by matching the recorded spectra with several natural gamma-ray peaks.

Potassium is measured directly from the 1460 keV gamma-ray photons emitted by <sup>40</sup>K, whereas uranium and thorium are measured indirectly from gamma-ray photons emitted by daughter products (<sup>214</sup>Pb for uranium and <sup>214</sup>Pb for thorium). Although these daughters are far down their respective decay chains, they are assumed to be in equilibrium with their parents, thus gamma-ray spectrometry of uranium and thorium are referred to as equivalent uranium and equivalent thorium, i.e. eU and eTh. The energy windows used to measure potassium, uranium and thorium are, respectively, 1373-1573 keV, 1960-1960 keV, and 2412 to 2611 keV.

Gamma-ray spectra were recorded at one-second intervals. Data processing followed standard procedures as described in IAEA, 1991 and IAEA, 2003. During processing, the spectra were energy calibrated, and counts were accumulated into the windows described above. Counts from the radon detectors were recorded in a 1960-1960 keV window and radiation at energies greater than 3000 keV was recorded in the cosmic window. The window counts were then corrected for spectral scattering in the ground, air and detectors. Corrections for deviations from the planned terrain clearance and for variation of temperature and pressure were made prior to conversion to ground concentrations of potassium, uranium and thorium, using factors determined from flights over the Brocktonville test strip. The factors for potassium, uranium, and thorium were, respectively, 91.75 cps/gm, 13.53 cps/gm, and 5.30 cps/gm.

Corrected data were interpolated to a 100m grid interval. The results of an airborne gamma-ray spectrometer survey represent the average surface concentrations of the 3 natural radioisotopes, and are influenced by natural or overlying, presence of surface vegetation cover, soil moisture and surface water. As a result the measured concentrations are usually lower than the actual bedrock concentrations.

Les mesures du rayonnement gamma ont été effectuées à l'aide d'un spectromètre gamma Radiation Solutions RS-800 utilisant quatorze cristaux de NaI (TI) de 1024x1024x46 mm. Le principal réseau de capteurs se compose de douze cristaux (volume total de 50,4 litres). Deux cristaux (volume total de 8,4 litres) protégés par le réseau principal ont été utilisés pour détecter les variations du rayonnement naturel dues au radon atmosphérique. Ce système compile à partir des réponses individuelles des cristaux de NaI(Tl) un spectre de 1024 canaux en respectant une distribution de Poisson. La calibration des spectres est réalisée en utilisant les spectres énergétiques selon plusieurs pics gamma naturels.

Le potassium est mesuré directement après les photons gamma à 1460 keV émis par le <sup>40</sup>K, tandis que l'uranium et le thorium sont mesurés indirectement selon les photons gamma émis par des produits de fission (<sup>214</sup>Pb pour l'uranium et <sup>214</sup>Pb pour le thorium). Bien que ces radionucléides de fission se trouvent loin dans leur chaîne respective de désintégration, on presume qu'ils sont en équilibre avec leur radionucléide père, ainsi, les mesures spectrométriques du rayonnement gamma de l'uranium et du thorium sont désignées comme des équivalents d'uranium et des équivalents de thorium, soit eU et eTh. Les plages d'énergie utilisées pour mesurer le potassium, l'uranium et le thorium sont respectivement : de 1370 à 1570 keV, de 1960 à 1960 keV et de 2410 à 2610 keV.

Les spectres du rayonnement gamma ont été enregistrés à intervalle d'une seconde. Le traitement des données a suivi les procédures standards décrites dans IAEA, 1991 et IAEA, 2003. Pendant le traitement, les spectres ont été corrigés à un étalonnage énergétique et les coups ont été cumulés dans les plages d'énergie cibles. Les coups obtenus à l'aide des capteurs de radon ont été enregistrés dans la plage de 1900 à 1900 keV et le rayonnement à des énergies supérieures à 3000 keV a été enregistré dans la plage du rayonnement cosmique. Les coups enregistrés dans les plages ont été corrigés pour tenir compte du rayonnement cosmique de fond et du rayonnement cosmique de la radioactivité de l'air et des produits de désintégration du radon atmosphérique. Les données pour les plages ont ensuite été corrigées pour tenir compte de la diffusion spectrale dans le sol, l'air et les capteurs. Les corrections pour les écarts à la hauteur de vol prévue et les variations de température et de pression ont été effectuées avant la conversion en concentrations équivalentes au sol du potassium, de l'uranium et du thorium, en utilisant des facteurs déterminés lors de vols effectués au-dessus de la bande d'essai de Brocktonville. Les facteurs obtenus pour le potassium, l'uranium et le thorium étaient respectivement de 91,75 cps/gm, 13,53 cps/gm, et 5,30 cps/gm.

Les données corrigées ont été interpolées suivant une grille à maille de 100 m. Les résultats d'un levé aéroporté de spectrométrie gamma représentent les concentrations moyennes des 3 radionucléides naturels à la surface. Ces mesures sont influencées par la nature du sous-sol, la présence d'affaissement, la couverture végétale et l'eau de surface. Par conséquent, les concentrations mesurées sont habituellement plus faibles que les concentrations réelles dans le substratum rocheux.

**Magnetic Data / Données sur le champ magnétique**  
The magnetic field was sampled 10 times per second using a split-beam cesium vapour magnetometer (sensitivity = 0.005 nT) rigidly mounted to the aircraft. Differences in magnetic values at the intersections of control and traverse lines were analysed to obtain a mutually levelled set of flightline magnetic data. The levelled values were then interpolated to a 100 m grid. The International Geomagnetic Reference Field (IGRF) defined at the average GPS altitude of 363 m for the year 2009.6 was then removed. Removal of the IGRF represents the magnetic field of the Earth's core, produces a residual component related essentially to magnetizations within the Earth's crust.

The first vertical derivative of the magnetic field is the rate of change of the magnetic field in the vertical direction. Computation of the first vertical derivative removes long wavelength features of the magnetic field and significantly improves the resolution of shallow sources and suppresses anomalies. A number of first vertical derivative maps is the coincidence of the zero-value contour with vertical contacts of magnetic units at high magnetic latitudes (Frost, 1960).

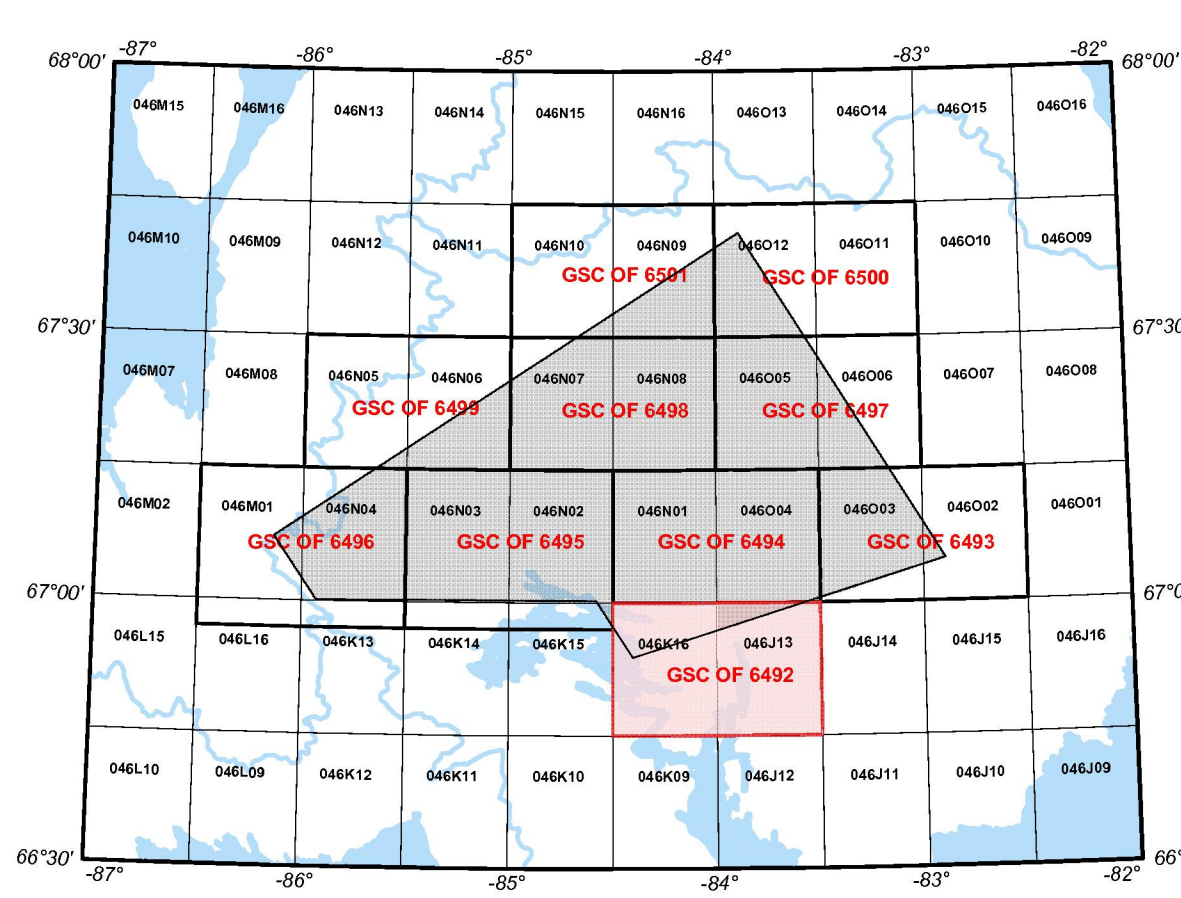
Le champ magnétique a été échantillonné 10 fois par seconde à l'aide d'un magnétomètre à vapeur de césium à faisceau partagé (sensibilité = 0,005 nT) rigidement fixé à l'aéronef. Les différences de valeurs du champ magnétique aux intersections des lignes de contrôle et des lignes de levé ont été analysées par ordinateur afin d'obtenir un ensemble de données sur le champ magnétique mutuellement nivelées sur les lignes de vol. Ces valeurs nivelées ont ensuite été interpolées suivant une grille à maille de 100 m. Le champ géomagnétique international de référence (IGRF) défini à l'altitude moyenne fournie par les données GPS de 363 m pour l'an 2009,6 a été soustrait. La soustraction de l'IGRF, qui représente le champ magnétique du noyau terrestre, résulte en une composante résiduelle essentiellement reliée à la magnétisation de l'écorce terrestre.

La dérivée première verticale du champ magnétique représente le taux de variation du champ magnétique suivant la verticale. Le calcul de la dérivée première verticale supprime les caractéristiques de grande longueur d'onde du champ magnétique et améliore considérablement la résolution des anomalies rapprochées les unes des autres ou superposées. L'une des propriétés des cartes de la dérivée première verticale est la coïncidence de l'éogramme de valeur zéro et des contacts verticaux d'unités magnétiques aux hautes latitudes magnétiques (Frost, 1960).

**References / Références**  
Frost, P. A. 1960. Gradient measurements in aeromagnetic surveying. *Geophysics*, 30, 891-902.  
International Atomic Energy Agency, 1991. Airborne gamma ray spectrometer surveying. Technical Reports Series 323, IAEA, Vienna.  
International Atomic Energy Agency, 2003. Guide lines for radiometric mapping using gamma ray spectrometry data. Technical Reports Series 363, IAEA.

**MAP SHEET SUMMARY / SOMMAIRE DES FEUILLETS**

SHEET/FEUILLET	MAP/CARTE
1	Natural Air Absorbed Dose Rate Taux d'absorption naturel des rayons gamma dans l'air
2	Potassium
3	Uranium
4	Thorium
5	Uranium / Thorium
6	Uranium / Potassium
7	Thorium / Potassium
8	Tertiary Radioelement Map Diagramme ternaire des radionucléides
9	Residual Total Magnetic Field Composante résiduelle du champ magnétique total
10	First Vertical Derivative of the Magnetic Field Dérivée première verticale du champ magnétique



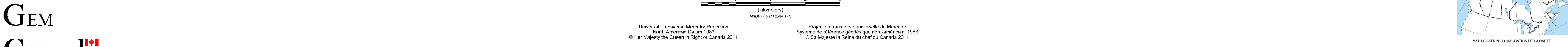
GSC OPEN FILE 6492 / DOSSIER PUBLIC 6492 DE LA CGC  
GEOPHYSICAL SERIES / SÉRIE DES CARTES GÉOPHYSIQUES

AIRBORNE GEOPHYSICAL SURVEY OF THE MIERTSCHING LAKE WEST AREA, NUNAVUT  
LEVÉ GÉOPHYSIQUE AÉROPORTÉ DE LA PARTIE OUEST DE LA RÉGION DU LAC MIERTSCHING, NUNAVUT  
NTS 46 J/13 and 46 K/16 / SNRC 46 J/13 et 46 K/16

NATURAL AIR ABSORBED DOSE RATE  
TAUX D'ABSORPTION NATUREL DES RAYONS GAMMA DANS L'AIR

Authors: Fortin, R., Coyle, M., Hefford, S.W., Carson, J.M., and Faulkner, E.L.  
Data acquisition, compilation and map production by Terraquest Ltd., Markham, Ontario.  
Contract and project management by the Geological Survey of Canada, Ottawa, Ontario.

Auteurs : Fortin R., Coyle M., Hefford S.W., Carson J.M., et Faulkner E.L.  
L'acquisition et la compilation des données, ainsi que la production des cartes, ont été effectuées par Terraquest Ltd., Markham, Ontario.  
La gestion et la supervision du projet ont été effectuées par la Commission géologique du Canada, Ottawa, Ontario.



**Recommended Citation:**  
Fortin, R., Coyle, M., Hefford, S.W., Carson, J.M., and Faulkner, E.L., 2011. Geophysical series: Airborne Geophysical Survey of the Mertsching Lake West Area, Nunavut, NTS 46 J/13 and 46 K/16. Geological Survey of Canada, Open File 6492, scale 1:50 000.

**Notation bibliographique conseillée :**  
Fortin, R., Coyle, M., Hefford, S.W., Carson, J.M., et Faulkner, E.L., 2011. Série des cartes géophysiques. Levé géophysique aéroporté de la partie ouest de la région du lac Mertsching, Nunavut, SNRC 46 J/13 et 46 K/16. Commission géologique du Canada, Dossier public 6492, échelle 1:50 000.